

### 3.13. КОРЕКТИРУЮЩИЕ СВОЙСТВА ЦИКЛИЧЕСКИХ $(n, k)$ -КОДОВ И ВЫБОР ИХ ПОРОЖДАЮЩИХ МНОГОЧЛЕНОВ

Изложение этой темы приведём применительно к БЧХ-кодам, образующим важный и обширный подкласс циклических кодов. Задание БЧХ-кодов основано на использовании корней многочлена  $g(X)$  степени  $r$ , порождающего идеал в алгебре многочленов по модулю биннома  $X^n - 1$ ; причём корни этого многочлена являются также корнями биннома  $X^n - 1$ .

БЧХ-коды позволяют исправлять *независимые ошибки кратности 1*. Свойства БЧХ-кодов, процедуры кодирования и декодирования, а также реализация кодеров и декодеров для этих кодов хорошо изучены.

Пусть  $\alpha$  – элемент из поля  $GF(p^m)$ . При любых заданных значениях  $m_0$  и  $d_0$  код, порождённый многочленом  $g(X)$ , является БЧХ-кодом тогда и только тогда, когда многочлен  $g(X)$  является многочленом наименьшей степени над  $GF(p)$ , для которого  $\alpha^{m_0}, \alpha^{m_0+1}, \dots, \alpha^{m_0+d_0-2}$  – его корни.

Минимальное расстояние между кодовыми векторами не меньше величины  $d_0$ , называемой *конструктивным кодовым расстоянием*.

Наибольшее значение имеют так называемые *БЧХ-коды в узком смысле*, получающиеся в том случае, если в качестве  $\alpha$  выбрать примитивный элемент поля  $GF(p^m)$  и положить  $m_0 = 1$ , а  $d_0 = 2t_0 + 1$  [3.3, с. 304].

В рассматриваемом случае справедлива следующая теорема.

**ТЕОРЕМА 3.27.** *Для любых целых положительных чисел  $m$  и  $t_0 \leq n/2$  существует двоичный БЧХ-код длины  $n = 2^m - 1$ , исправляющий все комбинации из  $t_0$  или меньшего числа ошибок и содержащий не более  $mt_0$  проверочных символов.*

END

**ПРИМЕР 3.21.** Предположим, что *расширением* основного поля  $F_0 = GF(2)$  является поле  $F = GF(2^m) = GF(2^3)$  (т.е.  $m = 3$ ). Очевидно, что в этом случае  $(2^m - 1) = (2^3 - 1) = 7$ .

При  $m = 3$  и  $n = 7$  требуется построить БЧХ-код с максимальным значением  $R = k/n = (n-r)/n = 1 - r/n$  и определить его конструктивную корректирующую способность  $d_0$ , т.е. требуется выбрать минимальное значение  $r$  из возможных допустимых его значений.

**РЕШЕНИЕ.**

Согласно результатам примера 3.10, исключая тривиальные случаи, мы располагаем, вообще говоря, следующими вариантами выбора порождающего многочлена:

$$(X^3 + X + 1) = g_1(X), \quad (X^3 + X^2 + 1) = g_2(X)$$

и

$$(X^3 + X + 1)(X^3 + X^2 + 1) = g_1(X)g_2(X).$$

Таким образом, учитывая постановку задачи, мы можем выбрать в качестве порождающего многочлена создаваемого БЧХ-кода многочлен  $(X^3 + X + 1)$  или многочлен  $(X^3 + X^2 + 1)$ .

Зафиксируем примитивный элемент  $\alpha$  поля  $GF(2^3)$  выбором неприводимого многочлена  $X^3 + X + 1$  (см. пример 3.10, табл. 3.17):

$$g_1(X) = (X - \alpha)(X - \alpha^2)(X - \alpha^4) = (X - \beta_1)(X - \beta_2)(X - \beta_3) = \\ = X^3 + X + 1,$$

где  $\beta_i, i = 1, 2, 3$ , –  $i$ -й корень многочлена  $X^3 + X + 1$ :

$$\beta_1 = \alpha \Leftrightarrow (0 \ 1 \ 0), \\ \beta_2 = \alpha^2 \Leftrightarrow (1 \ 0 \ 0), \\ \beta_3 = \alpha^2 + \alpha \Leftrightarrow (1 \ 1 \ 0).$$

Согласно теореме 3.24, если  $\beta$  – корень  $g_1(X)$ , то вся последовательность корней может быть представлена в виде  $\beta, \beta^p, \dots, \beta^{p^{r-1}}$ , что соответствует последовательности:  $\beta = \alpha, \beta^2 = \alpha^2, \beta^4 = \alpha^4$ .

Все элементы поля, образованного с помощью неприводимого в  $F_0[X]$  многочлена  $g_1(X) = X^3 + X + 1$  степени  $m = 3$ , могут быть выражены в поле  $F_0[g_1]$  через степени примитивного элемента  $\alpha$  или с помощью линейных комбинаций базисных комбинаций векторного пространства:

$$\beta = a_{m-1}\alpha^{m-1} + \dots + a_1\alpha + a_0 = a_2\alpha^2 + a_1\alpha + a_0$$

(см. табл. 3.17). Как следует из рассмотрения табл. 3.17 расширенное поле  $GF(2^m) = GF(2^3)$  содержит 8 элементов – *многочленов от  $\alpha$  степени не выше второй*: один нулевой многочлен и семь ненулевых. Подчеркнём, что для создания поля  $GF(2^m)$  мы рассматриваем понятие алгебры многочленов по модулю *неприводимого* многочлена  $g_1(X) = X^3 + X + 1$  степени  $m = 3$ .

Согласно примеру 3.10 разложение биннома  $X^7 - 1$  на неприводимые сомножители может быть описано с помощью числовых циклов:

0  
1 2 4  
3 5 6.

Приведенным числовым циклам соответствует разложение биннома:

$$X^7 - 1 = (X - 1)(X^3 + X + 1)(X^3 + X^2 + 1).$$

Выберем в качестве *порождающего* многочлена создаваемого циклического кода неприводимый над  $GF(2)$  многочлен  $g_1(X) = X^3 + X + 1$  степени  $r = m = 3$ , тогда мы получим циклический (7, 4)-код, корни порождающего многочлена которого определяются числовым циклом  
1 2 4.

В рассматриваемом случае кодовые векторы являются элементами векторного пространства и элементами  $A_7$  – алгебры многочленов по модулю биннома  $(X^7 - 1)$  – *многочленами степени не выше шестой*. Число всех элементов алгебры  $A_7$  в этом случае равно  $p^{6+1} = 2^7 = 128$ , из которых  $p^k = 2^4 = 16$  являются кодовыми многочленами – элементами циклического подпространства и идеала, порождаемого в  $A_7$  многочленом  $g_1(X) = X^3 + X + 1$ .

Согласно теореме 3.27  $r = 3 = mt_0 = 3t_0$ , откуда имеем:  $t_0 = 1$ ; и, следовательно,  $d_0 = 2t_0 + 1 = 3$ .

Другой путь определения корректирующей способности этого кода основан на применении приведенного ниже утверждения 3.3. В последовательности корней многочлена  $g(X) = X^3 + X + 1$   $\beta, \beta^2, \beta^4$  существует максимальной длины подпоследовательность корней с последовательными степенями (т.е. со степенями, изменяющимися на единицу для каждой пары соседних корней подпоследовательности); вот максимальная длина такой подпоследовательности:  $\beta, \beta^2$ . Следовательно, в данном случае  $m_0 = 1$ , а  $m_0 + d_0 - 2 = 2$ ; откуда находим:  $d_0 = 3$ .

Параметры этого (7, 4)-кода:  $n=7, k=4, m=r=n-k=3; t_0=1, mt_0=3, d = d_0 = 3$ .

Очевидно, что проверочным многочленом рассмотренного (7, 4)-кода является многочлен

$$h(X) = \frac{X^7 - 1}{g(X)} = (X - 1)(X^3 + X^2 + 1).$$

END

Заметим, что в теореме 3.27 в явном виде не оговаривается распределение корней  $\{\beta_i\}$ ,  $i = 1, 2, \dots, r$ , порождающего многочлена степени  $r$  в поле  $GF(2^m)$ . В приводимых ниже теоремах 3.28 и 3.29 характер распределения корней порождающего многочлена, напротив, играет *основополагающую роль*.

Пусть  $m$  – произвольное целое положительное число и  $n$  – один из делителей числа  $(2^m - 1)$ . Согласно теореме 3.20 и лемме 3.2 в поле  $GF(2^m)$  всегда существует элемент порядка  $n$ ; пусть  $\beta$  – один из таких элементов, при этом все элементы  $\beta^i$ ,  $(0 \leq i < n)$ , различны. Справедлива следующая теорема [3.3, с. 163].

**ТЕОРЕМА 3.28.** Если порождающий многочлен  $g(X)$  циклического кода длины  $n$  имеет своими корнями  $\beta^{l+1}, \beta^{l+2}, \dots, \beta^{l+r}$  ( $1 \leq r < n$ ), где  $l$  ( $0 \leq l < n$ ) – некоторое целое число, то минимальное расстояние этого кода не меньше чем  $r+1$ .

**END**

Данная теорема гарантирует минимальное кодовое расстояние  $r+1$ , называемое *нижней BCH-границей минимального кодового расстояния*.

Циклический  $(n, k)$ -код называется BCH-кодом, если корнями его порождающего многочлена являются элементы  $\beta^i$ , где  $i$  пробегает все числа из  $(r, n)$ -числовых циклов, содержащих числа  $l+1, \dots, l+r$ , и только они.

Если требуется, чтобы теорема 3.27 гарантировала исправление ошибок кратности, не превышающей  $t$ , то следует положить  $r = 2t$ .

Согласно теореме 3.28 длина каждого цикла, содержащего число  $l+j$  ( $1 \leq j \leq r$ ), равна  $m$  или некоторому делителю  $m$ . Поэтому степень  $g(X)$  и, следовательно, число проверочных символов не превосходят  $mr = 2mt$ .

Если для некоторого BCH-кода оба элемента  $\beta^l$  и  $\beta^{l+r-1}$  не являются корнями порождающего многочлена  $g(X)$ , то  $r+1$  называют *конструктивным расстоянием* этого BCH-кода.

В частном случае, при  $p=2$ ,  $n=2^m-1$ ,  $l=0$ ,  $r=2t$ , BCH-код называют *примитивным BCH-кодом* или *BCH-кодом в узком смысле*. При  $t=1$ , эти коды называются *циклическими кодами Хэмминга* [3.3, с. 164].

Справедливо следующее утверждение [3.3, с. 165].

**УТВЕРЖДЕНИЕ 3.2.** Пусть  $m$  – минимальное целое число, такое, что  $n|(2^m-1)$  и  $l$  ( $0 \leq l < n$ ) – некоторое целое число. Тогда число проверочных символов двоичного BCH-кода длины  $n$  с конструктивным расстоянием  $2t+1$  и с  $l=0$  не превосходит  $mt$ .

**ДОКАЗАТЕЛЬСТВО.** Числа  $i$  ( $0 \leq i \leq t$ ) и  $2i$  всегда принадлежат одному и тому же числовому циклу. Так как длина цикла, содержащего  $i$ , равна  $m$  или некоторому делителю  $m$ , то количество целых положительных чисел, не превосходящих  $n-1$  и входящих в циклы, содержащие числа  $1, 2, \dots, 2t$ , не превосходит  $mt$ .

**ЧТД**

**ТЕОРЕМА 3.29.** Пусть  $g(X)$  – порождающий многочлен циклического кода длины  $n$  над  $GF(q)$  и пусть  $\alpha^{e_1}, \alpha^{e_2}, \dots, \alpha^{e_{n-k}}$  – корни многочлена  $g(X)$ , быть может лежащие в расширении поля, где  $\alpha$  – элемент порядка  $n$ . Минимальное расстояние этого кода больше, чем наибольшее количество **последовательных целых чисел по модулю  $n$**  в множестве  $e = \{e_1, e_2, \dots, e_{n-k}\}$ .

**END**

Пусть теперь числа  $m_0, m_0+1, \dots, m_0+d_0-2$ , где  $d_0 \leq d$  – минимальное расстояние кода, составляют максимальное подмножество множества  $e$ , образованного последовательными по модулю  $n$  целыми числами. Таким образом, речь идёт о коде, минимальное кодовое расстояние  $d$  которого равно или больше  $d_0$ , а  $d_0$  – *конструктивное расстояние* является нижней границей возможных значений  $d$  [3.2, с. 301].

Тогда справедливо также следующее утверждение [3.2, с. 303].

УТВЕРЖДЕНИЕ 3.3. Циклический код, среди корней порождающего многочлена которого имеются элементы

$$\beta^{m_0}, \beta^{m_0+1}, \dots, \beta^{m_0+d_0-2}, \quad (3-62)$$

где  $\beta$  – элемент порядка  $n$ , имеет минимальное кодовое расстояние, не меньшее  $d_0$ .

END

Конструктивное расстояние является нижней границей для минимального кодового расстояния и в некоторых случаях может не совпадать с ним. Можно показать, что примитивный БЧХ-код с конструктивным расстоянием  $d_0$  имеет минимальное кодовое расстояние  $d$ , удовлетворяющее неравенствам:  $d_0 \leq d \leq 2d_0$  [3.2, с. 303, 305].

**ПРИМЕР 3.22.** Предположим, что расширением основного поля  $F_0 = GF(2)$  является поле  $F = GF(2^m) = GF(2^3)$  (т.е.  $m = 3$ ). Очевидно, что в этом случае  $n = (2^3 - 1) = 7$ .

Требуется построить при  $m = 3$  и  $n = 7$  БЧХ-код с максимально возможным кодовым расстоянием  $d$  и определить его конструктивную корректирующую способность  $t_0$ .

**РЕШЕНИЕ.** Очевидно, что решение поставленной задачи следует искать на пути объединения нескольких циклов, чтобы максимально возможным образом *удлинить* последовательность корней порождающего многочлена с *последовательными* (т.е. отличающимися на единицу) степенями.

Зафиксируем предварительно  $\alpha$  - примитивный элемент поля  $GF(2^3)$  с помощью многочлена  $g_1(X) = (X^3 + X + 1)$ .

Выберем в качестве порождающего многочлена кода многочлен  $g(X) = g_1(X)g_2(X) = (X^3 + X + 1)(X^3 + X^2 + 1)$ . Очевидно, что в этом случае (см. пример 3.10) распределение корней  $g(X)$  в  $GF(2^3)$  определяется двумя числовыми циклами:

1 2 4  
3 5 6,

и, следовательно, последовательность корней многочлена  $g(X)$  имеет вид:

$$\alpha, \alpha^2, \alpha^3, \alpha^4, \alpha^5, \alpha^6$$

или

$$\beta, \beta^2, \beta^3, \beta^4, \beta^5, \beta^6,$$

при условии, что  $\beta = \alpha$ .

Как видно из полученного результата, нам удалось сконструировать код с требуемым распределением корней в поле  $GF(2^3)$ . Подчеркнем, что этот результат мы получили за счёт объединения двух подмножеств корней, соответствующих двум числовым циклам 1 2 4 и 3 5 6, или, что то же самое, двум неприводимым многочленам  $(X^3 + X + 1)$  и  $(X^3 + X^2 + 1)$  в одно множество. Проверочным полиномом в рассматриваемом случае является

$$h(X) = \frac{X^7 - 1}{(X^3 + X + 1)(X^3 + X^2 + 1)} = X - 1.$$

Параметры найденного  $(n, k)$ -кода:  $n = 7, k = 1, r = 6$ . Порождающая матрица

$$G = [1111111] = [I_1 \ R_{1 \times 6}],$$

проверочная матрица

$$H = \begin{bmatrix} 1 & 1 & 0 & 0 & 0 & 0 & 0 \\ 1 & 0 & 1 & 0 & 0 & 0 & 0 \\ 1 & 0 & 0 & 1 & 0 & 0 & 0 \\ 1 & 0 & 0 & 0 & 1 & 0 & 0 \\ 1 & 0 & 0 & 0 & 0 & 1 & 0 \\ 1 & 0 & 0 & 0 & 0 & 0 & 1 \end{bmatrix} = [R_{1 \times 6}^T \ I_6].$$

Очевидно, что  $GH^T = 0$ .

Таким образом, поставленная задача решена – созданный (7, 1)-код удовлетворяет условиям теорем 3.28 и 3.29 и утверждений 3.2 и 3.3.

Согласно теореме 3.28 минимальное кодовое расстояние  $d \geq r+1 = 7$ , а так как  $l = 0$ , то это примитивный БЧХ-код или БЧХ-код в узком смысле.

Согласно утверждению 3.3, имеем:  $m_0=1$ ,  $m_0+d_0 - 2= 6$ ; и, следовательно,  $d = d_0 = 7$ , а  $t_0 = \lfloor (d_0 - 1)/2 \rfloor = 3$ .

Основное назначение данного примера – наглядная иллюстрация возможностей компоновки нескольких числовых циклов с целью создания кодов с увеличенным значением  $d$ .

END

В Приложении 5.5 приведена таблица циклических  $(n, k)$ -кодов и пояснения по пользованию ею [3.10].

**ПРИМЕР 3.23.** Рассмотрим  $(n, k)$ -коды из Приложения 5.5, основанные на разложении бинома  $X^{15}+1$ .

Таблица 3.29

$n$	$k$	$d_{\min}$	$f_i(X)$
...	...	...	...
15	11	3	23
	7	5	37
	5	7	7

Таблица 3.30

$n$	$k$	$d_{\min}$	$f_i(X)$
...	...	...	...
15	11	3	$X^4+X+1$
	7	5	$X^4 + X^3 + X^2 + X + 1$
	5	7	$X^2 + X + 1$

Таблица 3.31

$X^{15}+1$	$(X^2 + X + 1)(X + 1)(X^4 + X^3 + X^2 + X + 1)(X^4 + X^3 + 1)(X^4 + X + 1)$
------------	---

Таблица 3.32

Степень бинома	Последовательности степеней корней неприводимых многочленов	Неприводимые сомножители	$m$
1	2	3	4
...	...	...	...
15	01 02 04 08 03 06 12 09 05 10 07 14 13 11	023 037 007 031	4 4 2 4

Табл. 3.29 является фрагментом таблицы из Приложения 5.5. Табл. 3.30 получена из табл. 3.29 путём декодирования кодов, приведенных в её четвёртом столбце (переход от восьмеричной системы к двоичной).

Табл. 3.31 является фрагментом табл. из Приложения 5.2.

Табл. 3.32 является фрагментом табл. из Приложения 5.4.

Таблица 3.33

$n$	$k$	$d_{\min}$	Последовательность степеней корней $g(X)$	$g(X)$
...	...	...	...	...
15	11	3	01 02 04 08	$X^4+X+1$
15	7	5	01 02 04 08 03 06 12 09	$(X^4+X+1)(X^4 + X^3 + X^2 + X + 1)$
15	5	7	01 02 04 08 03 06 12 09 05 10	$(X^4+X+1)(X^4+X^3+X^2+X+1)(X^2+X+1)$

Табл. 3.33 построена на основе данных, содержащихся в табл. 3.32, и в соответствии с пояснениями, приведенными в конце Приложения 5.5.

В качестве упражнения самостоятельно определим  $d=d_{\min}$  для циклических  $(n, k)$ -кодов, приведенных в табл.

3.33, предварительно зафиксировав примитивный элемент  $\alpha$  в поле  $GF(2^m) = GF(2^4)$  с помощью многочлена  $X^4 + X + 1$ .

(15, 11)-код

Последовательность корней  $g(X)$ :  $\alpha, \alpha^2, \alpha^4, \alpha^8$ . Максимальная подпоследовательность корней порождающего многочлена с последовательными степенями:  $\alpha, \alpha^2$ ; следовательно, согласно утверждению 3.3  $m_0=1$  и  $m_0+d-2=2$ . Откуда имеем  $d=d_{\min}=3$ .

(15, 7)-код

Последовательность корней  $g(X)$ :  $\alpha, \alpha^2, \alpha^3, \alpha^4, \alpha^6, \alpha^8, \alpha^9, \alpha^{12}$ . Максимальная подпоследовательность корней порождающего многочлена с последовательными степенями:  $\alpha, \alpha^2, \alpha^3, \alpha^4$ ; следовательно, согласно утверждению 3.3  $m_0=1$  и  $m_0+d-2=4$ . Откуда имеем  $d=d_{\min}=5$ .

(15, 5)-код

Последовательность корней  $g(X)$ :  $\alpha, \alpha^2, \alpha^3, \alpha^4, \alpha^5, \alpha^6, \alpha^8, \alpha^9, \alpha^{10}, \alpha^{12}$ . Максимальная подпоследовательность корней порождающего многочлена с последовательными степенями:  $\alpha, \alpha^2, \alpha^3, \alpha^4, \alpha^5, \alpha^6$ ; следовательно, согласно утверждению 3.3  $m_0=1$  и  $m_0+d-2=6$ . Откуда имеем  $d=d_{\min}=7$ .

END

## 3.14. НЕКОТОРЫЕ ВИДЫ БЧХ-КОДОВ

В настоящем разделе мы только перечислим важнейшие виды двоичных циклических БЧХ-кодов и в краткой форме укажем некоторые их характеристики.

Приведём, также некоторые дополнительные определения и сведения об этих кодах.

Циклический  $(n, k)$ -код называется БЧХ-кодом, если корнями его порождающего многочлена являются элементы  $\beta^i$ , где  $i$  пробегает все числа из  $(p, n)$ -циклов, содержащих числа  $l+1, \dots, l+r$ , и только они.

Читатель, по-видимому уже заметил, что в ряде случаев  $l+1$  и  $m_0$  в различных выражениях означают одно и то же, и поэтому можно было бы просто положить в этих выражениях  $l+1 = m_0$ ; однако, мы этого не делаем, в первую очередь, из-за того, чтобы не затруднять работу читателя с различными цитируемыми основными литературными источниками.

ПРИМИТИВНЫЕ БЧХ-КОДЫ ИЛИ БЧХ-КОДЫ  
В УЗКОМ СМЫСЛЕ

В частном случае, при  $p=2, n=2^m-1, l=0, r=2t$ , БЧХ коды называют *примитивными БЧХ-кодами* или *БЧХ-кодами в узком смысле* [3.3, с. 164].

В [3.2, с. 306–307] приведена таблица двоичных БЧХ-кодов в узком смысле, порождаемых примитивными элементами порядков, меньших  $2^{10}$ . Все коды из этой таблицы, длина которых не превосходит 15, и все коды, исправляющие двойные ошибки, являются *оптимальными* кодами.

## КОДЫ ХЭММИНГА

В частном случае, при:  $p=2, n=2^m-1, l=0, r=2t, t=1$  и  $d \geq d_0 \geq r+1=2t+1=3$ ; эти *примитивные* БЧХ коды называют *циклическими кодами Хэмминга* (Hamming R.W., 1950). Код Хэмминга является *совершенным* кодом.

Проверочная матрица  $H$  кода Хэмминга состоит из  $r$  различных ненулевых строк и  $2^r-1$  различных ненулевых столбцов – двоичных ненулевых наборов длины  $r$ . Никакая

совокупность из двух (и менее) столбцов этой проверочной матрицы  $H$  не является линейно зависимой, но существуют линейно зависимые совокупности из трёх столбцов. Следовательно, минимальное хэммингово расстояние нулевого пространства этой матрицы  $d_{\min} = 3 = 2t+1$ ;  $t = 1$ . Это нулевое пространство является кодом, исправляющим все одиночные ошибки. Очевидно, что:  $n = 2^r - 1$ ;  $k = 2^r - 1 - r$ .

В примерах 3.15 и 3.17 мы рассматривали циклический (7, 4)-код Хэмминга, имеющий минимальное кодовое расстояние  $d=d_{\min}=3$  [3.2, с. 247–249].

### КОДЫ РИДА-СОЛОМОНА

Важным подклассом БЧХ-кодов является коды Рида-Соломона (Reed I.S., Solomon G., 1960), имеющие параметры:  $m_0 = 1$  и, следовательно,  $l=0$ ;  $n = q - 1$  ( $q = 2^m$ ). Точнее говоря, коды Рида-Соломона – это *примитивные* БЧХ-коды с порождающим многочленом

$$g(X) = \prod_{i=1}^r (X - \beta^i), \quad (3-63)$$

где  $\beta$  – один из примитивных элементов поля  $GF(q)$ . Минимальное кодовое расстояние для кодов Рида-Соломона

$$d = r+1. \quad (3-64)$$

На основе кодов Рида-Соломона строятся наиболее мощные из известных кодов, исправляющих пакеты ошибок, и коды, одновременно исправляющие пакеты ошибок и случайные ошибки [3.2, с. 309; 3.3, с. 166].

Выше в примере 3.22 был рассмотрен циклический (7, 1)-код, являющийся кодом Рида-Соломона.

### ЦИКЛИЧЕСКИЙ (23, 12)-КОД ГОЛЕЯ

Двоичный циклический (23, 12)-код Голя (Golay M.J.E., 1949) – это *совершенный* код, порождающим многочленом которого является многочлен одиннадцатой степени:

$$g(X) = (X^{11} + X^9 + X^7 + X^6 + X^5 + X + 1),$$

являющийся делителем биннома  $X^{23}+1$  (см. табл. 3.34). Табл. 3.34 является фрагментом табл. 5.1 из Приложения 5.2.

Таблица 3.34

$X^{23}+1$	$(X^{11} + X^9 + X^7 + X^6 + X^5 + X + 1)(X + 1)(X^{11} + X^{10} + X^6 + X^5 + X^4 + X^2 + 1)$
------------	--

Кодовое расстояние  $d=d_{\min} = 7$  (см. Приложение 5.5).

См. также [3.2, с. 267–270; 3.3, с. 31, 165].

Завершая этот небольшой раздел, отметим, что, несмотря на всю важность БЧХ-кодов, они всё же являются лишь подклассом весьма обширного класса циклических кодов.

Вот цитата, поясняющая эту мысль [3.2, с. 305]: «Найдено около 8000 циклических кодов длины 63, лучших, чем БЧХ...» (см. Приложение 5.4).

### 3.15. КОДИРОВАНИЕ И ДЕКОДИРОВАНИЕ ЦИКЛИЧЕСКИХ (n, k)-КОДОВ

Сейчас мы приведём частный пример, иллюстрирующий одно из *важнейших достоинств* циклических кодов – *простоту схемотехнической реализации их кодеров*.

На рис. 3.1 с приведена схема умножения произвольного входного многочлена  $b(X)$  над полем  $GF(2)$  на фиксированный многочлен  $g(X) = X^3 + X + 1$ .

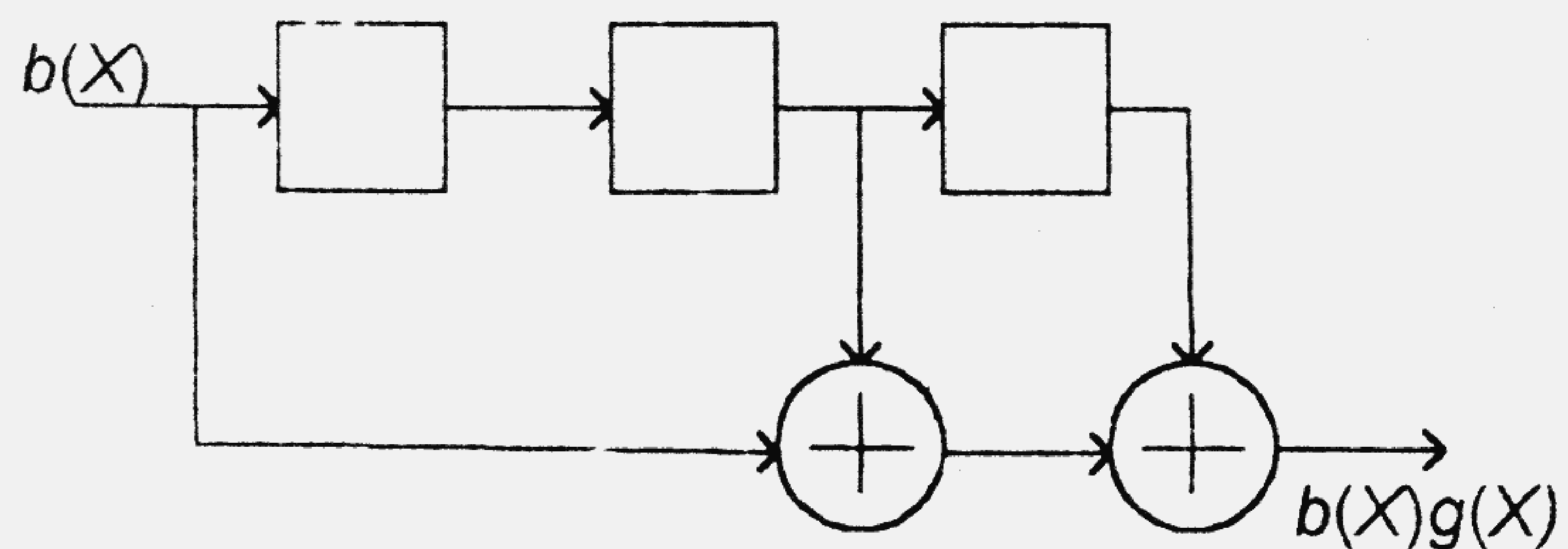


Рис. 3.1 с. Умножитель произвольного входного многочлена  $b(X)$  на фиксированный многочлен  $g(X)=X^3+X+1$

Умножитель полиномов, приведенный на рис. 3.1 с, собран из бистабильных (триггерных) ячеек памяти, изображённых в виде квадратиков, и сумматоров по модулю два, изображённых в виде кружка со знаком «+» внутри.

Занумеруем, считая слева направо, ячейки памяти номерами 1, 2 и 3, а двоичные сумматоры – номерами 1 и 2.

Согласно выше изложенному, все кодовые многочлены должны делиться на порождающий многочлен  $g(X)=X^3+X+1$  рассмотренного выше (7, 4)-кода. Поэтому, если мы имеем безызбыточный вектор-сообщение  $b = (b_{k-1}, b_{k-2}, \dots, b_0) = (b_3, b_2, b_1, b_0)$ , поступающий с выхода источника информации на вход кодера канала, то, отождествляя кодовые комбинации с многочленами, мы можем изложить операцию кодирования в терминах выполнения операций над многочленами. Заметим, что в рассматриваемом случае речь идёт об обычном умножении многочленов, так как сумма степеней многочленов  $b(X)$  и  $g(X)$  не превосходит числа  $n = 7$ .

На вход кодера-умножителя многочленов поступает безызбыточный многочлен-сообщение  $b(X) = b_3X^3 + b_2X^2 + b_1X + b_0$ , а на выходе кодера появляется кодовый многочлен

$$b(X)g(X) = (b_3X^3 + b_2X^2 + b_1X + b_0)(X^3 + X + 1).$$

Первоначально все ячейки памяти содержат нули, а коэффициенты многочлена  $b(X)$  поступают на вход кодера, начиная с коэффициентов при **старших** степенях  $X$ .

В приложении 3.16 в общем виде и с техническими деталями строго доказываем, что общая схема, частным случаем которой является обсуждаемая схема, действительно выполняет функцию умножения многочленов.

Таким образом, при поступлении на вход кодера многочлена  $b(X)$  в виде последовательности его коэффициентов на выходе кодера появляется последовательность коэффициентов кодового многочлена  $b(X)g(X)$ .

Легко видеть, что проверочным многочленом для циклического (7, 4)-кода является многочлен  $h(X) = (X^7-1)/(X^3+X+1) = (X-1)(X^3+X^2+1)$  и, следовательно,

$$b(X)g(X)h(X) \equiv 0 \pmod{(X^7-1)}.$$

**ПРИМЕР 3.24.** Рассмотрим работу схемы умножителя, приведенной на рис.3.1, при поступлении на её вход кодового многочлена  $b(X) = X^3 + X^2 + 1$ . При построении табл. 3.35 считалось, что символ «-» соответствует нулю.

Таблица 3.35

$j$	Входной символ после $j$ -го сдвига	Содержимое регистра сдвига после $j$ -го сдвига	Выходной символ после $j$ -го сдвига (сумма входного символа и выходных символов 2-й и 3-й ячеек)
0	-	000	0
1	1	000	1
2	1	100	1
3	0	110	1
4	1	011	1
5	-	101	1
6	-	010	1
7	-	001	1
8	-	000	0



Таким образом, на выходе рассматриваемой схемы появится кодовый полином  $X^6+X^5+X^4+X^3+X^2+X+1$ . Непосредственной проверкой убеждаемся (Maple V R5), что  $(X^3+X^2+1)(X^3+X+1) = X^6+X^5+X^4+X^3+X^2+X+1 \Leftrightarrow (1111111)$ .

END

Рассмотренная схема кодера в смысле её технической реализации действительно является *предельно простой*.

Оказывается, что и схемы – делители многочленов могут быть использованы в качестве кодеров и эти схемы столь же просты, как и схемы – умножители многочленов [3.2].

Задача декодирования циклических кодов, вообще говоря, не допускает столь простой схемотехнической реализации, как задача кодирования.

Помимо синдромного декодирования существуют также другие методы декодирования, связанные с вычислением синдрома, полученного на выходе канала слова. На рис. 3.2 приведена схема декодера, реализующего подобные методы декодирования.

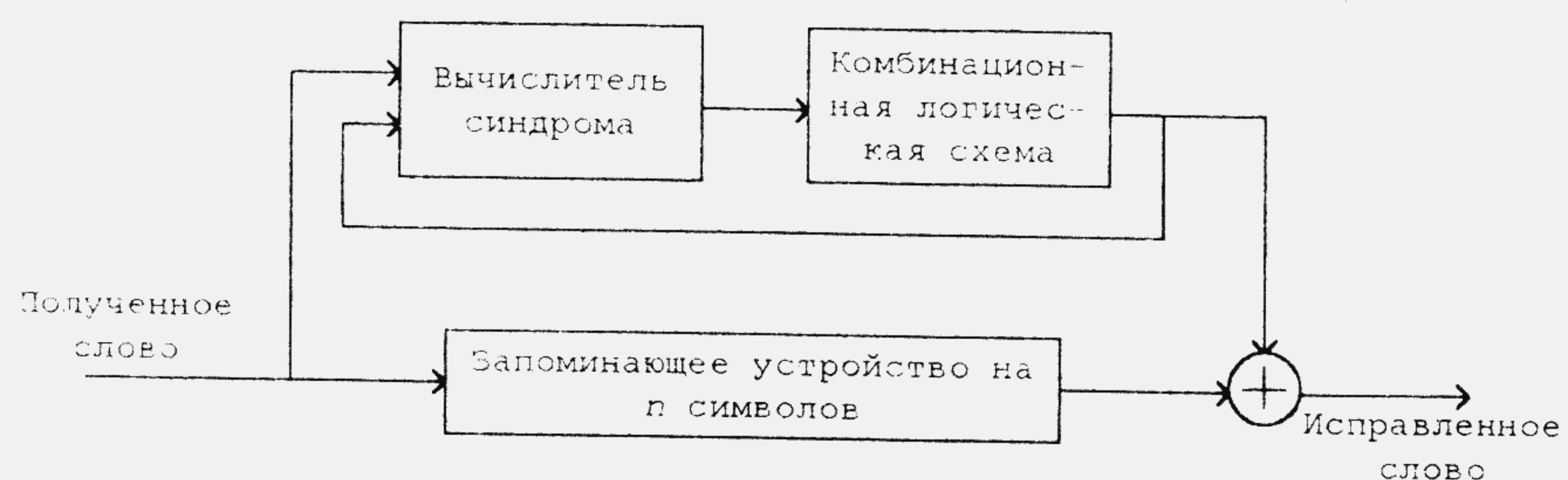


Рис. 3.2. Декодер циклического кода

Вычислитель синдрома реализуется по тем же принципам, что и кодеры для циклических кодов.

Сложность реализации комбинационной логической схемы определяется *выбранным алгоритмом декодирования*.

### 3.16. ПРИЛОЖЕНИЕ. ЭЛЕМЕНТЫ ЛИНЕЙНЫХ ПЕРЕКЛЮЧАТЕЛЬНЫХ СХЕМ И НЕКОТОРЫЕ СТАНДАРТНЫЕ СХЕМЫ

Линейными переключательными схемами с конечным числом состояний являются любые схемы, состоящие из конечного числа элементов – ячеек сдвиговых регистров, сумматоров и умножителей на константу, соединённых любым допустимым способом. В линейных переключательных схемах *допустимо* соединение любого числа входов с любым выходом, однако *соединение никаких двух выходов является недопустимым*.

#### ЯЧЕЙКА СДВИГОВОГО РЕГИСТРА

Для осуществления функций запоминания и временной задержки сигнала на постоянную величину  $\tau_3$ , равную доле периода  $\tau_0$  последовательности тактирующих прямоугольных импульсов длительности  $\tau$  (длительности переднего и заднего фронтов много меньше  $\tau$ ), может быть использован так называемый Master-Slave (двухступенчатый) D-триггер со срабатыванием по заднему (или переднему) фронту, имеющий один информационный D-вход (Delay – задержка), один тактирующий C-вход, на который поступает периодическая последовательность прямоугольных импульсов (см. рис. 3.3, на котором представлены временные диаграммы, поясняющие работу ячейки памяти), один информационный Q-выход (и один информационный  $\bar{Q}$ -выход; [3.15, с. 118; 3.16, с. 125]). Этот D-триггер, являющийся ячейкой сдвигового регистра, состоит из двух бистабильных ячеек – ведущем (Master) и ведомом (Slave) триггерах.

При увеличении напряжения тактирующего импульса (передний фронт) и достижения или превышения им определённого значения на входе C ведомый триггер отключается от

ведущего и при дальнейшем увеличении напряжения тактирующего импульса и достижении значения, равного или большего некоторой определённой величины, близкой к напряжению логической единицы, в ведущий триггер записывается «входная информация»; при этом ведомый триггер отключен от ведущего, а выход D-триггера соответствует содержанию ведомого триггера. При уменьшении напряжения тактирующего импульса (задний фронт) на входе С сначала ведущий триггер снова отключится от входов D-триггера, и при дальнейшем его уменьшении до значения, равного или меньшего некоторой определённой величины, выходы ведущего триггера подключатся ко входам ведомого триггера, и содержимое ведущего триггера перезаписывается в ведомый триггер. Далее процесс записи «входной информации» с D-входа в ведущий триггер и её перезаписи из ведущего триггера в ведомый триггер периодически повторяется.

На рис. 3.3 использованы обозначения:

$t$  – текущее время;

$\tau_0$  – период последовательности прямоугольных импульсов;

$\tau$  – длительность тактирующих прямоугольных импульсов;

$a_i$  –  $i$ -й двоичный символ рассматриваемой последовательности символов,  $i=1, 2, \dots, 5$ ;

$a^*$  – символ логического нуля; при этом предполагается, что длительности переднего и заднего фронтов тактового импульса пренебрежимо малы по сравнению с его длительностью;

$\tau_y$  – время упреждения;

$\tau_3$  – время задержки выходного символа относительно соответствующего ему входного символа.

При этом обычно выполняются соотношения

$$0 < \tau \leq \tau_0/2, \quad (3-65)$$

$$0 < \tau < \tau_3 \leq \tau_0, \quad (3-66)$$

$$0 < \tau_y \leq (\tau_0 - \tau). \quad (3-67)$$

В данной книге рассматривается лишь случай:

$$\tau_3 = \tau_0, \quad (3-68)$$

$$\tau_y = (\tau_0 - \tau), \quad (3-69)$$

который реализуется, например, когда на вход рассматриваемой ячейки символы поступают с выхода аналогичной ячейки, являющейся элементом некоторой схемы, тактируемой теми же самыми тактирующими импульсами, представленными на рис. 3.3.

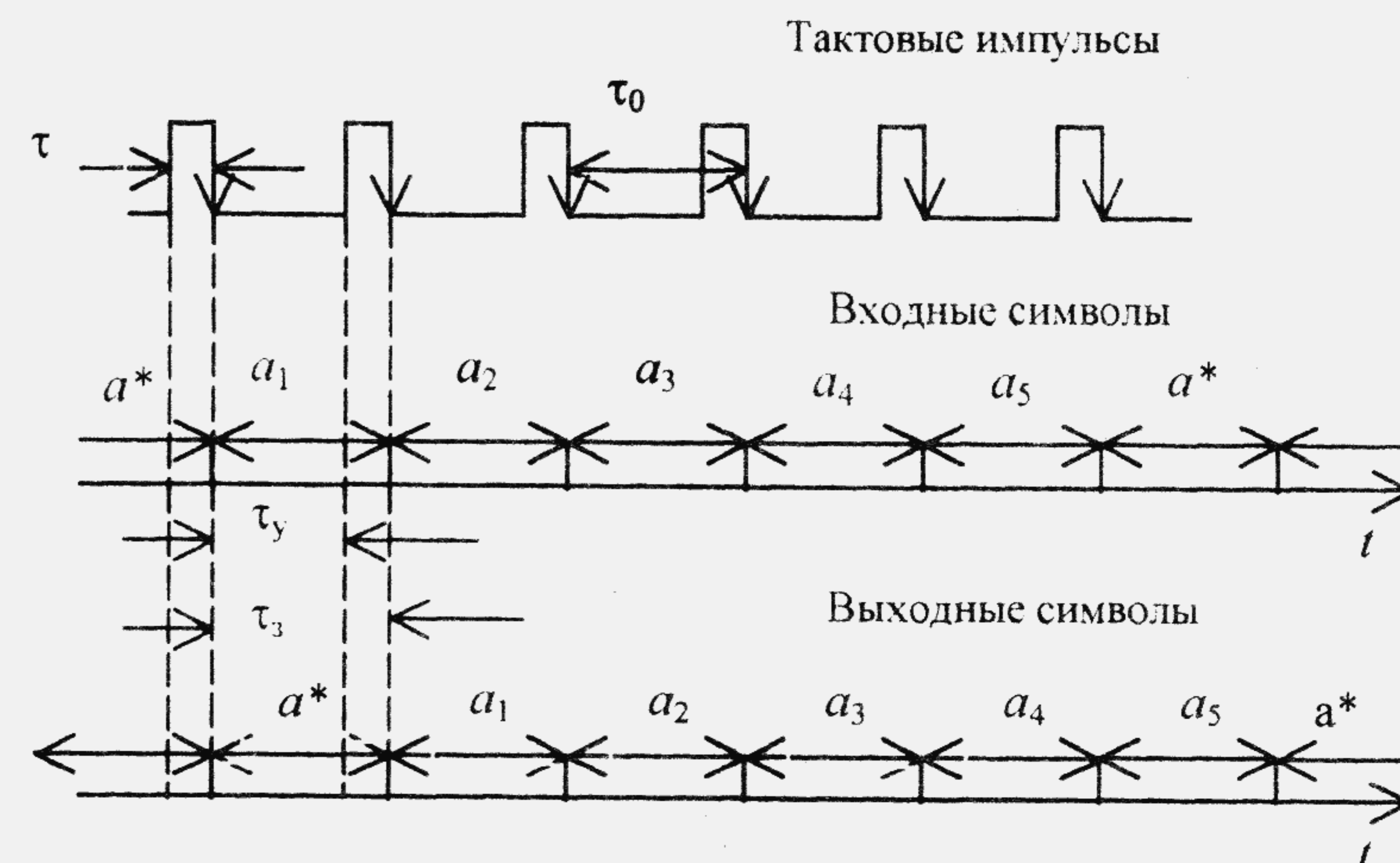


Рис.3.3. Временные последовательности входных и выходных символов ячейки сдвигового регистра

Таким образом, изменение входного символа D-триггера определяется изменением выходного символа предыдущей схемы, подающей символы на вход рассматриваемого триггера, а изменение выходного символа D-триггера происходит на *заднем фронте* тактирующего импульса. Если

же чередующиеся символы на входе рассматриваемого D-триггера поступают с выхода аналогичного D-триггера, тактируемого теми же самыми тактирующими импульсами, то изменения входных и выходных символов рассматриваемого D-триггера (сдвиг) происходят одновременно на заднем фронте тактирующих импульсов.

Далее для определённости будем рассматривать устройства, реализованные на D-триггерах со срабатыванием по заднему фронту.

Из рис. 3.3 следует, что входные и выходные символы ячейки сдвигового регистра – D-триггера имеют одну и ту же длительность  $\tau_0$ ; выходной символ задержан во времени относительно соответствующего ему входного на  $\tau_3 = \tau_0$  и всегда соответствует содержимому ведомого триггера; время упреждения  $\tau_y = (\tau_0 - \tau)$ .

Мы будем использовать упрощенное изображение D-триггера в виде квадратика с одним информационным (D-) входом и одним информационным (Q-) выходом (рис. 3.4, а; С-вход и  $\bar{Q}$ -выход здесь не показаны; а – двоичный символ).

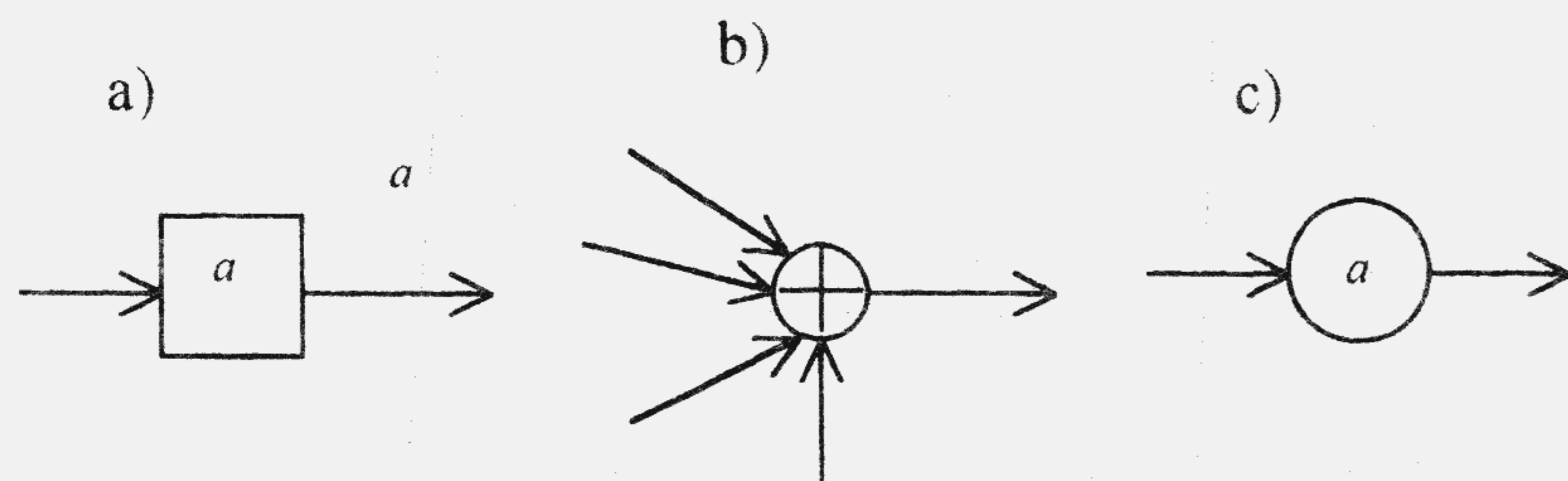


Рис. 3.4. Элементы линейных переключательных схем

### СУММАТОР ПО МОДУЛЮ ДВА

На рис. 3.4, б изображён сумматор по модулю два, имеющий  $n$  входов ( $n \geq 2$ ) и один выход.

Пусть  $w(x_1, x_2, \dots, x_n) = w(x)$  – вес комбинации  $x = x_1, x_2, \dots, x_n$ ;  $x_i$  – двоичная переменная, принимающая значения 0 или 1,  $i=1, 2, \dots, n$ . Выходная последовательность двоичных символов  $y$  этого устройства связана с входными двоичными символами  $x_1, x_2, \dots, x_n$  соотношением

$$y = x_1 \oplus x_2 \oplus \dots \oplus x_n = \begin{cases} 0, & w(x) - \text{чётное число,} \\ 1, & w(x) - \text{нечётное число.} \end{cases} \quad (3-70)$$

При  $n = 2$  сумматор по модулю 2 с  $n$  входами может быть реализован на логических элементах:

два элемента НЕ, два элемента И и один элемент типа ИЛИ или другой вариант:

один элемент ИЛИ, один элемент И-НЕ и один элемент И;

а при  $n > 2$  сумматор по модулю 2 с  $n$  входами может быть реализован на  $(n - 1)$  двоичных сумматорах с двумя входами [3.4, 3.15, 3.16].

### УМНОЖИТЕЛЬ НА КОНСТАНТУ

На рис. 3.4, с изображён элемент – умножитель на константу  $a$ : выходной символ умножителя равен его входному символу, умноженному на константу  $a$ , которой может быть любой элемент поля. Этот элемент имеет один вход и один выход.

Если  $a$  – двоичная константа, то необходимость изображения этого элемента на схеме отпадает: наличие в схеме умножителя при  $a = 1$  равносильно введению дополнительного соединения, а при  $a = 0$  равносильно отсутствию такого соединения.

В данной книге считается, что сумматор по модулю два и умножитель на константу являются безынерционными элементами.

### НЕКОТОРЫЕ СТАНДАРТНЫЕ СХЕМЫ

В приводимых ниже схемах входной и выходной сигналы образованы последовательностями двоичных символов одной и той же длительности  $\tau_0$ . Эти двоичные символы могут интерпретироваться как коэффициенты многочленов (полиномов), над которыми производятся определённые операции.

Входные и выходные многочлены передаются, начиная с коэффициентов, соответствующих высшим степеням, так как, например, при делении (когда деление возможно) в первую очередь должны быть обработаны коэффициенты входного многочлена-делимого, соответствующие высшим степеням  $X$ . Например, многочлен

$$b(X) = b_n X^n + b_{n-1} X^{n-1} + \dots + b_i + \dots + b_1 X + b_0, \quad (3-71)$$

$b_n \neq 0$  и  $b_0 \neq 0$ , будет поступать на вход или появляться на выходе схемы в виде:  $b_n, b_{n-1}, \dots, b_1, b_0$  – последовательности  $(n+1)$  элементов поля – двоичных символов, являющихся коэффициентами этого многочлена; натуральное число  $i \in \{n, (n-1), \dots, 1, 0\}$ .

Символ  $X$  в полиноме  $b(X)$  называется *неопределённым символом* или *формальной переменной* [3.1 – 3.3].

#### Сдвиговый регистр

Если соединить последовательно несколько идентичных вышерассмотренных бистабильных ячеек, то получится так называемый сдвиговый регистр с последовательным вво-

дом данных. В качестве примера на рис. 3.5 приведен четырёхразрядный сдвиговый регистр. Пусть ячейки регистра – MS-триггеры занумерованы слева направо цифрами 1, 2, 3, 4, а на вход регистра сдвига поступает двоичная последовательность символов  $a_1 a_2 \dots a_6 a_7$ .

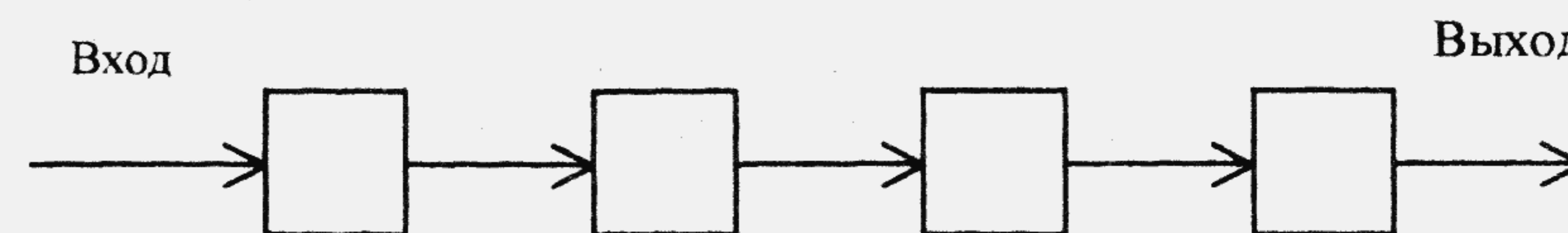


Рис.3.5. Сдвиговый регистр с последовательным вводом данных

Таблица 3.36

Номер тактового импульса	Символ на входе регистра	$Q_1$	$Q_2$	$Q_3$	$Q_4$
0	$a_1$	$a^*$	$a^*$	$a^*$	$a^*$
1	$a_2$	$a_1$	$a^*$	$a^*$	$a^*$
2	$a_3$	$a_2$	$a_1$	$a^*$	$a^*$
3	$a_4$	$a_3$	$a_2$	$a_1$	$a^*$
4	$a_5$	$a_4$	$a_3$	$a_2$	$a_1$
5	$a_6$	$a_5$	$a_4$	$a_3$	$a_2$
6	$a_7$	$a_6$	$a_5$	$a_4$	$a_3$
7	$a^*$	$a_7$	$a_6$	$a_5$	$a_4$
8	$a^*$	$a^*$	$a_7$	$a_6$	$a_5$
9	$a^*$	$a^*$	$a^*$	$a_7$	$a_6$
10	$a^*$	$a^*$	$a^*$	$a^*$	$a_7$
11	$a^*$	$a^*$	$a^*$	$a^*$	$a^*$

Табл. 3.36 иллюстрирует состояние выходов ячеек памяти  $Q_i, i=1, \dots, 4$ , рассматриваемого сдвигового регистра. При построении табл. 3.36 считалось, что символ входной по-